

# **STUDI ADSORPSI *BOVINE SERUM ALBUMIN* PADA BESI NANOPARTIKEL $\text{Fe}_3\text{O}_4$ TERMODIFIKASI**

## **Laporan Penelitian**

Disusun untuk memenuhi tugas akhir guna mencapai gelar  
sarjana di bidang Ilmu Teknik Kimia

Oleh:

**Christ Joseph Carlo Wibowo Apoenx (6141801038)**  
**Stephanie Hanafi (6141801046)**

Dosen Pembimbing:  
**Hans Kristianto, S.T., M.T.**  
**Susiana Prasetyo S., S.T., M.T.**



**PROGRAM STUDI SARJANA TEKNIK KIMIA  
FAKULTAS TEKNOLOGI INDUSTRI  
UNIVERSITAS KATOLIK PARAHYANGAN  
BANDUNG  
2022**

# **ADSORPTION OF BOVINE SERUM ALBUMIN ON MODIFIED Fe<sub>3</sub>O<sub>4</sub> NANOPARTICLES**

## **Research Report**

Compiled to fulfill the final task to achieve  
Bachelor's degree in Chemical Engineering

By:

**Christ Joseph Carlo Wibowo Apoenx (6141801038)**

**Stephanie Hanafi (6141801046)**

Academic Consultant:

**Hans Kristianto, S.T., M.T.**

**Susiana Prasetyo S., S.T., M.T.**



**DEPARTMENT OF CHEMICAL ENGINEERING  
FACULTY OF INDUSTRIAL TECHNOLOGY  
PARAHYANGAN CATHOLIC UNIVERSITY  
BANDUNG  
2022**

## **LEMBAR PENGESAHAN**

**JUDUL : STUDI ADSORPSI BOVINE SERUM ALBUMIN PADA  
BESI NANOPARTIKEL Fe<sub>3</sub>O<sub>4</sub> TERMODIFIKASI**

**CATATAN :**

Telah diperiksa dan disetujui,

Bandung, 11 Februari 2022

Pembimbing 1

Pembimbing 2



Hans Kristianto, S.T., M.T.



Susiana Prasetyo S., S.T., M.T.



**PROGRAM STUDI SARJANA TEKNIK KIMIA  
FAKULTAS TEKNOLOGI INDUSTRI  
UNIVERSITAS KATOLIK PARAHYANGAN**

**SURAT PERNYATAAN**

Kami yang bertanda tangan di bawah ini :

Nama : Christ Joseph Carlo Wibowo Apoenx  
NPM : 6141801038

Nama : Stephanie Hanafi  
NPM : 6141801046

dengan ini menyatakan bahwa laporan penelitian dengan judul:

**Studi Adsorpsi Bovine Serum Albumin Pada Besi Nanopartikel Fe<sub>3</sub>O<sub>4</sub> Termodifikasi**

adalah hasil pekerjaan kami dan seluruh ide, pendapat atau materi dari sumber lain telah dikutip dengan cara penulisan referensi yang sesuai. Pernyataan ini kami buat dengan sebenar-benarnya dan jika pernyataan ini tidak sesuai dengan kenyataan, maka kami bersedia menanggung sanksi sesuai dengan peraturan yang berlaku.

Bandung, 13 Januari 2022



Christ Joseph Carlo Wibowo Apoenx  
(6141801038)

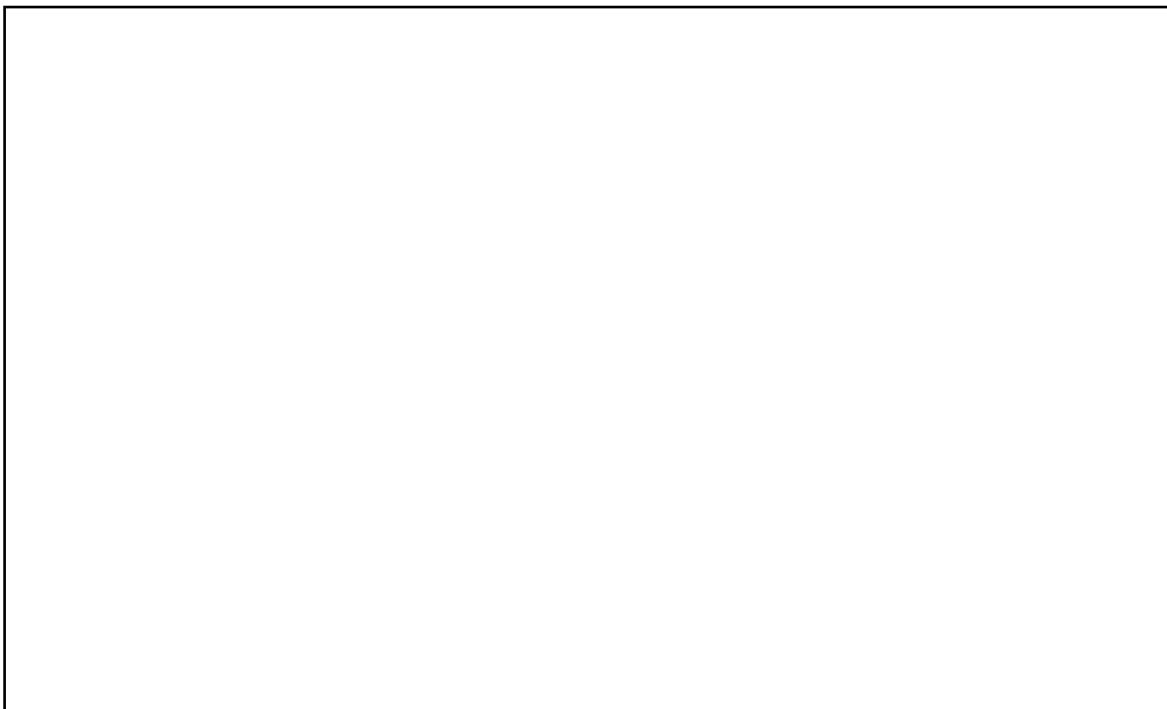


Stephanie Hanafi  
(6141801046)

## **LEMBAR REVISI**

**JUDUL : STUDI ADSORPSI BOVINE SERUM ALBUMIN PADA  
BESI NANOPARTIKEL Fe<sub>3</sub>O<sub>4</sub> TERMODIFIKASI**

**CATATAN :**



Telah diperiksa dan disetujui,

Bandung, 9 Februari 2022

Penguji 1



Ratna Frida Susanti, Ph.D.

Penguji 2



Kevin Cleary Wanta, S.T., M.Eng.

## INTISARI

$\text{Fe}_3\text{O}_4$  nanopartikel merupakan salah satu adsorben nanopartikel yang banyak dikembangkan karena memiliki beberapa keunggulan seperti kemampuan penyerapan yang sangat baik, kekuatan struktur yang baik, dan tingkat resistensi terhadap asam dan alkali yang tinggi.  $\text{Fe}_3\text{O}_4$  nanopartikel dapat dimanfaatkan dalam proses adsorpsi protein; akan tetapi, besi nanopartikel memiliki permukaan hidrofobik yang tidak menguntungkan untuk aplikasi pada sistem yang polar sehingga modifikasi pada permukaan  $\text{Fe}_3\text{O}_4$  nanopartikel perlu dilakukan agar kapasitas adsorpsi dapat meningkat. Pada penelitian ini, asam galat dan asam humat digunakan sebagai agen modifikasi  $\text{Fe}_3\text{O}_4$  nanopartikel sehingga interaksi hidrofobik antara  $\text{Fe}_3\text{O}_4$  nanopartikel dengan protein semakin meningkat.

Penelitian ini bertujuan untuk menentukan pH terbaik, kapasitas adsorpsi, model isoterm, dan termodinamika pada proses adsorpsi *bovine serum albumin* (BSA) dengan dan tanpa modifikasi permukaan  $\text{Fe}_3\text{O}_4$  nanopartikel dengan asam galat atau asam humat. Penentuan pH terbaik untuk adsorpsi BSA dilakukan dengan memvariasikan pH pada rentang 3,6 – 5,6 menggunakan larutan buffer asetat 0,1 M; pH terbaik digunakan sebagai kondisi penelitian selanjutnya. Studi isoterm adsorpsi dan termodinamika BSA dilakukan dengan memvariasikan konsentrasi awal BSA sebesar 50 – 175 mg L<sup>-1</sup> dan temperatur adsorpsi dengan rentang 30 – 50 °C. Konsentrasi BSA yang teradsorbsi dianalisis menggunakan uji Bradford. Data yang diperoleh di-fit ke model Langmuir, Freundlich, Temkin, dan Dubinin-Radushkevich untuk isoterm adsorpsi serta persamaan Van't Hoff untuk termodinamika adsorpsi. Karakterisasi  $\text{Fe}_3\text{O}_4$  nanopartikel sebelum dan setelah modifikasi asam galat atau asam humat serta setelah adsorpsi protein dilakukan menggunakan *Fourier Transform Infrared Spectroscopy (FTIR)*.

Hasil analisa *FTIR* menunjukkan bahwa  $\text{Fe}_3\text{O}_4$  nanopartikel telah berhasil dimodifikasi dengan asam galat atau asam humat yang ditunjukkan dengan adanya ikatan stretching C=O. Selain itu, keberadaan gugus amida I, II dan III menunjukkan adanya BSA yang berhasil diadsorpsi. Peningkatan kapasitas adsorpsi BSA terjadi pada rentang pH 3,6 sampai 4,8 dan mengalami penurunan pada rentang pH 4,8 sampai 5,6 akibat adanya gaya tolak-menolak antara adsorbat dan adsorben. Kapasitas maksimum adsorpsi terjadi pada pH 4,8 mendekati titik isoelektrik BSA. Hasil penelitian menunjukkan bahwa proses adsorpsi yang terjadi pada  $\text{Fe}_3\text{O}_4$ ,  $\text{Fe}_3\text{O}_4$ -AG, dan  $\text{Fe}_3\text{O}_4$ -AH mengikuti model isoterm Freundlich. Termodinamika adsorpsi pada  $\text{Fe}_3\text{O}_4$ ,  $\text{Fe}_3\text{O}_4$ -AG, dan  $\text{Fe}_3\text{O}_4$ -AH menunjukkan bahwa adsorpsi terjadi secara spontan, endotermis, dan adanya keacakan molekul BSA pada permukaan adsorben yang ditunjukkan nilai energi Gibbs ( $\Delta G^\circ$ ) yang negatif, entalpi ( $\Delta H^\circ$ ) yang positif, dan entropi ( $\Delta S^\circ$ ) yang positif secara berturut-turut. Modifikasi besi nanopartikel menggunakan asam galat dan asam humat telah berhasil meningkatkan kapasitas adsorpsi hingga 33,650 mg BSA/g besi dan 39,231 mg BSA/g besi.

**Kata kunci:** adsorpsi, asam galat, asam humat, *Bovine Serum Albumin* (BSA),  $\text{Fe}_3\text{O}_4$  nanopartikel

## ABSTRACT

$\text{Fe}_3\text{O}_4$  nanoparticles are one of the nanoparticle adsorbents that have been widely developed because they have various advantages such as excellent adsorption ability, good structural strength, and a high level of resistance to acids and alkalis.  $\text{Fe}_3\text{O}_4$  nanoparticles can be utilized in the protein adsorption process; however, iron nanoparticles have hydrophobic surface that is unfavorable for application in polar systems, so modifications to the surface of  $\text{Fe}_3\text{O}_4$  nanoparticles need to be carried out to increase the adsorption capacity. In this study, gallic acid and humic acid were used as modification agents for  $\text{Fe}_3\text{O}_4$  nanoparticles so that the hydrophobic interaction between  $\text{Fe}_3\text{O}_4$  nanoparticles and protein increased.

This study aims to determine the optimum pH, adsorption capacity, isotherm model, and thermodynamics in bovine serum albumin (BSA) adsorption with and without surface modification of  $\text{Fe}_3\text{O}_4$  nanoparticles with gallic acid or humic acid. The optimum pH for BSA adsorption was determined by varying the pH in the range of 3.6 – 5.6 using 0.1 M acetate buffer solution, where the best pH was used as the subsequent experimental study. The adsorption isotherm and thermodynamic studies of BSA were carried out by varying the initial concentration of BSA in the range of 50 – 175 mg L<sup>-1</sup> and the adsorption temperature in the range of 30 – 50 °C. The concentration of adsorbed BSA was analyzed using the Bradford test. The data obtained were then fitted to the Langmuir, Freundlich, Temkin, and Dubinin-Radushkevich models for adsorption isotherms and the Van't Hoff equation for adsorption thermodynamics. Characterization of  $\text{Fe}_3\text{O}_4$  nanoparticles before and after modification of gallic acid or humic acid and after protein adsorption was carried out using Fourier Transform Infrared Spectroscopy (FTIR).

The results of FTIR analysis showed that  $\text{Fe}_3\text{O}_4$  nanoparticles had been successfully modified with gallic acid or humic acid as indicated by the presence of stretching C=O bonds. In addition, the presence of amide groups I, II and III indicated the presence of BSA which was successfully adsorbed. The increase in BSA adsorption capacity occurred in the pH range of 3.6 to 4.8 and decreased in the pH range of 4.8 to 5.6 due to the repulsion between the adsorbate and the adsorbent. The maximum adsorption capacity occurred at pH 4.8 near the isoelectric point of BSA. The experimental results show that the adsorption process that occurs in  $\text{Fe}_3\text{O}_4$ ,  $\text{Fe}_3\text{O}_4\text{-AG}$ , and  $\text{Fe}_3\text{O}_4\text{-AH}$  follows the Freundlich isotherm model. The thermodynamics of adsorption on  $\text{Fe}_3\text{O}_4$ ,  $\text{Fe}_3\text{O}_4\text{-AG}$ , and  $\text{Fe}_3\text{O}_4\text{-AH}$  showed that the adsorption occurred spontaneously, endothermically, and the randomness of BSA molecules on the surface of the adsorbent; indicated by negative value of Gibbs energy ( $\Delta G^\circ$ ), positive value of enthalpy ( $\Delta H^\circ$ ), and positive value of entropy ( $\Delta S^\circ$ ), respectively. Modification of iron nanoparticles using gallic acid and humic acid has succeeded in increasing the adsorption up to 33.650 mg BSA/g iron and 39.231 mg BSA/g iron.

**Keywords:** adsorption, gallic acid, humic acid, Bovine Serum Albumin (BSA),  $\text{Fe}_3\text{O}_4$  nanoparticles

## **KATA PENGANTAR**

Segala puji syukur penulis panjatkan kepada Tuhan Yang Maha Esa. Berkat dan karunia-Nya, penulis dapat menyelesaikan laporan penelitian dengan judul “Studi Adsorpsi *Bovine Serum Albumin* Pada Besi Nanopartikel Fe<sub>3</sub>O<sub>4</sub> Termodifikasi” tepat pada waktunya.

Laporan penelitian ini disusun dan diajukan untuk memenuhi syarat kelulusan mata kuliah Penelitian (CHE 184650-04) yang merupakan salah satu mata kuliah wajib untuk mendapatkan gelar sarjana pada Program Studi Sarjana Teknik Kimia Universitas Katolik Parahyangan. Laporan ini dapat diselesaikan tepat pada waktunya karena penulis menerima banyak bantuan dan dukungan. Untuk itu, penulis mengucapkan terima kasih sebesar-besarnya kepada:

1. Hans Kristianto S.T., M.T. selaku dosen pembimbing utama yang selalu memberikan bimbingan, waktu, dan masukannya sehingga penulis dapat menyelesaikan laporan penelitian ini.
2. Susiana Prasetyo, S.T., M.T. selaku dosen pembimbing yang juga telah memberikan bimbingan dan saran agar laporan penelitian ini dapat selesai.
3. Orang tua penulis yang telah memberikan dukungan dan perhatiannya selama penyusunan laporan.
4. Serta berbagai pihak yang tidak mungkin dapat penulis sebutkan satu per satu.

Penulis menyadari bahwa laporan ini masih jauh dari kata sempurna karena keterbatasan ilmu dan pengalaman yang dimiliki. Oleh karena itu, saran dan kritik dari pembaca yang bersifat membangun akan penulis terima dengan sepenuh hati. Penulis berharap semoga laporan ini dapat bermanfaat bagi pembaca.

Bandung, 26 Januari 2022

Penulis

## DAFTAR ISI

HALAMAN JUDUL .....	i
LEMBAR PENGESAHAN .....	ii
SURAT PERNYATAAN .....	iii
LEMBAR REVISI .....	iv
KATA PENGANTAR .....	v
DAFTAR ISI .....	vi
DAFTAR GAMBAR .....	viii
DAFTAR TABEL .....	x
INTISARI .....	xi
<i>ABSTRACT</i> .....	xii
BAB I PENDAHULUAN .....	1
1.1 Latar Belakang .....	1
1.2 Tema Sentral Masalah .....	2
1.3 Identifikasi Masalah .....	3
1.4 Premis .....	4
1.5 Hipotesis .....	4
1.6 Tujuan Penelitian .....	9
1.7. Manfaat Penelitian .....	9
BAB II TINJAUAN PUSTAKA .....	10
2.1 Bovine Serum Albumin (BSA) .....	10
2.2 Besi Nanopartikel .....	12
2.3 Adsorpsi BSA dengan Besi Nanopartikel Termodifikasi Asam .....	13
2.4 Model Isoterm Adsorpsi .....	21
2.4.1 Isoterm Langmuir .....	21
2.4.2 Isoterm Freundlich .....	22
2.4.3 Isoterm Temkin .....	23
2.4.4 Isoterm Dubinin-Radushkevich .....	24
2.5 Termodinamika .....	25
BAB III METODOLOGI PENELITIAN .....	27
3.1 Rancangan Penelitian .....	27

3.2 Alat dan Bahan .....	29
3.3 Prosedur Penelitian .....	30
3.3.1 Modifikasi Menggunakan Asam Galat atau Asam Humat.....	30
3.3.2 Adsorpsi <i>Bovine Serum Albumin</i> (BSA) .....	32
3.4 Rancangan Percobaan.....	33
3.4.1 Pengolahan Data Isoterm Adsorpsi .....	34
3.4.2 Pengolahan Data Termodinamika Adsorpsi.....	36
3.5. Analisis .....	37
3.6. Jadwal Kerja Penelitian .....	37
<b>BAB IV PEMBAHASAN.....</b>	<b>38</b>
4.1 Modifikasi Besi Nanopartikel.....	38
4.2 Karakterisasi Adsorpsi BSA .....	39
4.3 Penentuan pH Optimum Adsorpsi .....	41
4.4 Pengaruh Konsentrasi Awal BSA dan Temperatur Adsorpsi.....	43
4.5 Isoterm Adsorpsi.....	45
4.5.1 Isoterm Adsorpsi Langmuir .....	45
4.5.2 Isoterm Adsorpsi Freundlich.....	47
4.5.3 Isoterm Adsorpsi Temkin.....	47
4.5.4 Isoterm Dubinin-Raduskevich.....	48
4.6 Termodinamika Adsorpsi .....	51
<b>BAB V KESIMPULAN DAN SARAN .....</b>	<b>53</b>
5.1 Kesimpulan .....	53
5.2 Saran .....	53
<b>DAFTAR PUSTAKA.....</b>	<b>54</b>
<b>LAMPIRAN A METODE ANALISA .....</b>	<b>62</b>
<b>LAMPIRAN B MATERIAL SAFETY DATA SHEET.....</b>	<b>68</b>
<b>LAMPIRAN C HASIL ANTARA .....</b>	<b>80</b>
<b>LAMPIRAN D GRAFIK .....</b>	<b>87</b>
<b>LAMPIRAN E CONTOH PERHITUNGAN.....</b>	<b>110</b>

## DAFTAR GAMBAR

Gambar 2.1	Gugus asam amino pada pH di atas dan di bawah titik isoelektrik .....	10
Gambar 2.2	Struktur sekunder BSA .....	11
Gambar 2.3	Struktur molekul Fe <sub>3</sub> O <sub>4</sub> .....	12
Gambar 2.4	Mekanisme tahap adsorpsi protein ke permukaan padatan adsorben .....	14
Gambar 2.5	Kapasitas adsorpsi tanpa dan dengan modifikasi asam .....	16
Gambar 2.6	Ilustrasi interaksi hidrofobik dan ikatan hidrogen .....	17
Gambar 2.7	Stuktur molekul asam humat .....	17
Gambar 2.8	Spektrum IR dari Fe <sub>3</sub> O <sub>4</sub> nanopartikel dengan dan tanpa modifikasi asam humat.....	18
Gambar 2.9	Interaksi asam galat dengan BSA .....	18
Gambar 2.10	Stuktur molekul asam galat.....	19
Gambar 2.11	Spektrum IR dari Fe <sub>3</sub> O <sub>4</sub> nanopartikel dengan (kiri) dan tanpa modifikasi (kanan) asam galat .....	19
Gambar 2.12	Kapasitas adsorpsi BSA pada permukaan Fe <sub>3</sub> O <sub>4</sub> pada berbagai pH.....	20
Gambar 3.1	Diagram alir singkat penelitian.....	28
Gambar 3.2	Skema alat untuk modifikasi permukaan Fe <sub>3</sub> O <sub>4</sub> nanopartikel .....	29
Gambar 3.3	Diagram alir modifikasi permukaan Fe <sub>3</sub> O <sub>4</sub> nanopartikel dengan asam galat atau asam humat.....	31
Gambar 3.4	Diagram alir adsorpsi BSA pada permukaan Fe <sub>3</sub> O <sub>4</sub> nanopartikel .....	32
Gambar 4.1	Spektra infra merah sampel Fe <sub>3</sub> O <sub>4</sub> , Fe <sub>3</sub> O <sub>4</sub> – AG dan Fe <sub>3</sub> O <sub>4</sub> – AH .....	38
Gambar 4.2	(a) Spektra infra merah Fe <sub>3</sub> O <sub>4</sub> dan Fe <sub>3</sub> O <sub>4</sub> – BSA, (b) Fe <sub>3</sub> O <sub>4</sub> , Fe <sub>3</sub> O <sub>4</sub> –AG dan Fe <sub>3</sub> O <sub>4</sub> – AG – BSA, (c) Fe <sub>3</sub> O <sub>4</sub> , Fe <sub>3</sub> O <sub>4</sub> – AH dan Fe <sub>3</sub> O <sub>4</sub> –AH–BSA, (d) BSA, Fe <sub>3</sub> O <sub>4</sub> –AG–BSA, Fe <sub>3</sub> O <sub>4</sub> –AH–BSA .....	40
Gambar 4.3	Profil kapasitas adsorpsi BSA terhadap pH pada suhu 30°C sampel Fe <sub>3</sub> O <sub>4</sub> , Fe <sub>3</sub> O <sub>4</sub> –AG, dan Fe <sub>3</sub> O <sub>4</sub> –AH.....	41

Gambar 4.4 Profil Adsorpsi (a) Fe<sub>3</sub>O<sub>4</sub>–BSA, (b) Fe<sub>3</sub>O<sub>4</sub>–AG–BSA,  
(c) Fe<sub>3</sub>O<sub>4</sub>–AH–BSA ..... 44

## DAFTAR TABEL

Tabel 1.1 Premis penelitian terkait adsorpsi BSA pada Fe <sub>3</sub> O <sub>4</sub> nanopartikel.....	5
Tabel 1.2 Premis penelitian terkait termodinamika adsorpsi BSA pada Fe <sub>3</sub> O <sub>4</sub> nanopartikel	8
Tabel 2.1 Komposisi asam amino pada BSA .....	12
Tabel 2.2 Jenis Adsorpsi.....	14
Tabel 3.1 Bahan kimia untuk keperluan analisis.....	29
Tabel 3.2 Run percobaan kapasitas adsorpsi pada berbagai derajat keasaman (pH) .....	33
Tabel 3.3 Rancangan percobaan isoterm adsorpsi.....	34
Tabel 3.4 Plot sumbu x dan sumbu y setiap isoterm adsorpsi.....	35
Tabel 3.5 <i>Gradien</i> dan <i>slope</i> setiap isoterm adsorpsi.....	35
Tabel 3.6 Persamaan non-linear setiap isoterm adsorpsi.....	36
Tabel 3.7 Jadwal Kerja Penelitian .....	37
Tabel 4.1 Parameter isoterm Langmuir Fe <sub>3</sub> O <sub>4</sub> , Fe <sub>3</sub> O <sub>4</sub> -AG, dan Fe <sub>3</sub> O <sub>4</sub> -AH .....	45
Tabel 4.2 Perbandingan isoterm adsorpsi besi nanopartikel Fe <sub>3</sub> O <sub>4</sub> hasil penelitian dengan pustaka .....	46
Tabel 4.3 Parameter isoterm Freundlich Fe <sub>3</sub> O <sub>4</sub> , Fe <sub>3</sub> O <sub>4</sub> -AG, dan Fe <sub>3</sub> O <sub>4</sub> -AH .....	47
Tabel 4.4 Parameter isoterm Temkin Fe <sub>3</sub> O <sub>4</sub> , Fe <sub>3</sub> O <sub>4</sub> -AG, dan Fe <sub>3</sub> O <sub>4</sub> -AH .....	48
Tabel 4.5 Parameter isoterm Dubinin-Raduskevich Fe <sub>3</sub> O <sub>4</sub> , Fe <sub>3</sub> O <sub>4</sub> -AG, dan Fe <sub>3</sub> O <sub>4</sub> -AH....	49
Tabel 4.6 Uji non-linear <i>Chi-squared</i> parameter isoterm Fe <sub>3</sub> O <sub>4</sub> , Fe <sub>3</sub> O <sub>4</sub> -AG, dan Fe <sub>3</sub> O <sub>4</sub> -AH .....	50
Tabel 4.7 Nilai persen error parameter isoterm Fe <sub>3</sub> O <sub>4</sub> , Fe <sub>3</sub> O <sub>4</sub> -AG, dan Fe <sub>3</sub> O <sub>4</sub> -AH.....	50
Tabel 4.8 Termodinamika adsorpsi Fe <sub>3</sub> O <sub>4</sub> , Fe <sub>3</sub> O <sub>4</sub> -AG, dan Fe <sub>3</sub> O <sub>4</sub> -AH.....	51

## **BAB I**

### **PENDAHULUAN**

#### **1.1 Latar Belakang**

Nanopartikel merupakan partikel yang memiliki ukuran sebesar 1-100 nm; di mana dalam beberapa tahun terakhir telah banyak diteliti dan digunakan dalam berbagai bidang, seperti industri, medis, hingga produk konsumen (Manna dan Bdanyopadhyay, 2018). Salah satu aplikasinya yang diteliti pada penelitian ini adalah adsorben berukuran nano telah banyak dikembangkan seiring dengan perkembangan nanoteknologi. Keuntungan nanopartikel sebagai adsorben dibandingkan adsorben konvensional adalah kinerja yang lebih baik karena luas permukaan yang besar, tidak adanya resistansi difusi internal, efisien dan biasanya lebih hemat biaya (Sadegh dkk., 2017). Salah satu adsorben berukuran nano yang banyak dikembangkan dalam penelitian bioteknologi terutama dalam adsorpsi dan pemurnian protein yaitu besi oksida nanopartikel.

Magnetit ( $\text{Fe}_3\text{O}_4$ ) nanopartikel dapat digunakan dalam berbagai aplikasi, seperti imobilisasi enzim dan protein, *magnetic resonance imaging* (MRI), *drug delivery system*, dan purifikasi DNA/RNA (Kim dkk., 2007). Hal tersebut dikarenakan  $\text{Fe}_3\text{O}_4$  nanopartikel memiliki beberapa keunggulan, antara lain kemampuan penyerapan yang sangat baik, kekuatan struktur yang baik, tingkat resistensi terhadap asam dan alkali yang tinggi, dapat dilakukan modifikasi pada permukaan, biaya yang relatif murah, dan proses pemisahan yang mudah sehingga dapat digunakan kembali (Faraji dkk., 2010; Jain dkk., 2018). Akan tetapi,  $\text{Fe}_3\text{O}_4$  nanopartikel mudah teroksidasi ketika bereaksi dengan udara dan cenderung membentuk agregat dalam sistem yang polar karena energi permukaannya yang tinggi menyebabkan  $\text{Fe}_3\text{O}_4$  nanopartikel sulit untuk terikat secara langsung dengan biomolekul dalam air (Kim dkk., 2007). Beberapa penelitian juga menyatakan bahwa  $\text{Fe}_3\text{O}_4$  nanopartikel memiliki permukaan hidrofobik yang tidak menguntungkan untuk aplikasi pada sistem yang polar (Mahdavinia dan Etemadi, 2015; Wu dkk., 2015; Zhang dkk., 2011). Oleh karena itu, perlu dilakukan modifikasi pada permukaan  $\text{Fe}_3\text{O}_4$  nanopartikel, salah satunya adalah dengan melapisi permukaannya dengan asam multivalensi sehingga dapat meningkatkan interaksi hidrofobik antara permukaan  $\text{Fe}_3\text{O}_4$  nanopartikel dengan biomolekul pada sistem yang polar.

Adsorben Fe<sub>3</sub>O<sub>4</sub> nanopartikel termodifikasi yang memiliki sifat hidrofilik banyak digunakan dalam adsorpsi protein, yang pada penelitian ini diwakili dengan *Bovine Serum Albumin* (BSA), karena adanya interaksi hidrofobik akan meningkatkan kapasitas adsorpsi Fe<sub>3</sub>O<sub>4</sub> termodifikasi-BSA. Berdasarkan hasil penelitian yang telah dilakukan oleh Atacan dan Özcar (2015), Joshua (2021), dan Kim dkk. (2007), Fe<sub>3</sub>O<sub>4</sub> nanopartikel yang termodifikasi asam memiliki kapasitas adsorpsi yang lebih tinggi daripada tanpa modifikasi. Faktor lainnya yang mempengaruhi kapasitas adsorpsi BSA adalah interaksi elektrotatis yang dipengaruhi oleh variasi pH (Peng dkk., 2004).

Modifikasi Fe<sub>3</sub>O<sub>4</sub> nanopartikel dengan asam galat dan asam humat sudah pernah dilakukan, namun studi proses adsorpsi dengan BSA belum pernah terutama pada studi isoterm dan termodinamika proses adsorpsinya; namun beberapa penelitian (Madaeni dkk., 2006; Precupas dkk., 2019) telah menunjukkan bahwa asam galat ataupun asam humat memiliki interaksi dengan BSA. Oleh karena itu, pada penelitian ini, efektivitas modifikasi permukaan Fe<sub>3</sub>O<sub>4</sub> nanopartikel menggunakan asam galat dan asam humat akan dievaluasi dengan mempelajari isoterm dan termodinamika adsorpsinya. Studi isoterm adsorpsi dapat menentukan jumlah maksimum adsorbat yang dapat teradsorp pada permukaan adsorben, mekanisme adsorpsi, dan konstanta kesetimbangan adsorpsi.

Termodinamika adsorpsi dapat menentukan karakteristik adsorpsi yang terjadi berdasarkan data yang didapatkan dari model isoterm, dimana salah satunya adalah konstanta kesetimbangan adsorpsi (Myers, 2004). Masing-masing parameter termodinamika memiliki peran penting terhadap identifikasi karakteristik adsorpsi Fe<sub>3</sub>O<sub>4</sub> termodifikasi asam dengan BSA. Nilai energi Gibbs ( $\Delta G^\circ$ ) digunakan untuk mengetahui spontanitas dari proses adsorpsi, sedangkan nilai entalpi ( $\Delta H^\circ$ ) sebagai parameter panas adsorpsi, dan entropi ( $\Delta S^\circ$ ) untuk mengetahui struktur lapisan pada *interface* adsorben dan interaksi yang terjadi pada proses adsorpsi (Mahdavinia dan Etemadi, 2015; Sahmoune, 2018; Sharifi dkk., 2017).

## 1.2 Tema Sentral Masalah

Berdasarkan studi pustaka yang telah dilakukan, Fe<sub>3</sub>O<sub>4</sub> nanopartikel dapat dimanfaatkan sebagai adsorben untuk adsorpsi protein BSA. Namun, kinerja adsorpsi protein pada Fe<sub>3</sub>O<sub>4</sub> nanopartikel masih belum optimal karena kapasitas adsorpsi yang diperoleh cenderung rendah. Terdapat banyak faktor yang mempengaruhi kapasitas

adsorpsi, pada penelitian ini dibatasi pada pH terbaik adsorpsi dan studi adsorpsi BSA dengan modifikasi permukaan. Penelitian terkait modifikasi permukaan  $\text{Fe}_3\text{O}_4$  nanopartikel menggunakan asam multivalensi belum banyak dilakukan, khususnya terkait studi adsorpsi isoterm serta termodinamika pada modifikasi  $\text{Fe}_3\text{O}_4$  nanopartikel masih sangat minim. Modifikasi permukaan  $\text{Fe}_3\text{O}_4$  nanopartikel dengan asam galat dan asam humat merupakan salah satu alternatif dalam meningkatkan kapasitas adsorpsi BSA. Selain itu, peningkatan kapasitas adsorpsi BSA juga dipengaruhi oleh pH. Pada penelitian ini, kapasitas adsorpsi pada  $\text{Fe}_3\text{O}_4$  nanopartikel dengan dan tanpa modifikasi asam galat dan asam humat diamati pada variasi pH 3,6 – 5,6.

Studi adsorpsi protein dibatasi pada isoterm dan termodinamika adsorpsi menggunakan isoterm Langmuir, Freundlich, Temkin, dan Dubinin-Radushkevich. Isoterm adsorpsi bertujuan untuk mengetahui interaksi yang terjadi antara BSA dengan  $\text{Fe}_3\text{O}_4$  nanopartikel. Termodinamika adsorpsi sendiri diperhitungkan untuk mengkaji proses adsorpsi BSA yang ditinjau dari nilai energi Gibbs ( $\Delta G^\circ$ ), entalpi ( $\Delta H^\circ$ ), dan entropi ( $\Delta S^\circ$ ).

### 1.3 Identifikasi Masalah

Beberapa masalah yang dapat diidentifikasi pada penelitian ini adalah:

1. Bagaimana kinerja adsorpsi protein pada permukaan  $\text{Fe}_3\text{O}_4$  nanopartikel dengan dan tanpa modifikasi menggunakan asam galat atau asam humat?
2. Bagaimana profil kapasitas adsorpsi BSA pada permukaan  $\text{Fe}_3\text{O}_4$  nanopartikel dengan dan tanpa modifikasi menggunakan asam galat atau asam humat pada berbagai pH?
3. Bagaimana profil kapasitas adsorpsi BSA pada permukaan  $\text{Fe}_3\text{O}_4$  nanopartikel dengan dan tanpa modifikasi menggunakan asam galat atau asam humat pada berbagai konsentrasi awal BSA dan suhu?
4. Model isoterm adsorpsi apakah yang paling cocok untuk proses adsorpsi protein BSA pada  $\text{Fe}_3\text{O}_4$  nanopartikel dengan dan tanpa modifikasi menggunakan asam galat atau asam humat?
5. Bagaimana sifat termodinamika energi Gibbs ( $\Delta G^\circ$ ), entalpi ( $\Delta H^\circ$ ), dan entropi ( $\Delta S^\circ$ ) pada adsorpsi BSA dengan  $\text{Fe}_3\text{O}_4$  nanopartikel dengan dan tanpa modifikasi menggunakan asam galat atau asam humat?

## 1.4 Premis

Berdasarkan studi pustaka yang telah dilakukan, dapat disusun beberapa premis yang menjadi dasar penelitian ini. Premis penelitian terkait adsorpsi BSA pada Fe<sub>3</sub>O<sub>4</sub> nanopartikel disajikan pada **Tabel 1.1** dan premis penelitian terkait termodinamika adsorpsi BSA pada Fe<sub>3</sub>O<sub>4</sub> nanopartikel disajikan pada **Tabel 1.2**.

## 1.5 Hipotesis

Berdasarkan studi pustaka yang telah dilakukan, dirumuskan beberapa hipotesis sebagai berikut:

1. Kapasitas adsorpsi protein pada permukaan Fe<sub>3</sub>O<sub>4</sub> nanopartikel yang telah dimodifikasi menggunakan asam meningkat karena permukaan Fe<sub>3</sub>O<sub>4</sub> nanopartikel cenderung lebih stabil dan terdapat banyak gugus hidroksil (-OH) bersifat asam yang dapat berikatan dengan protein melalui ikatan hidrofobik dibandingkan tanpa modifikasi (Ur Rahman dkk., 2012).
2. Kapasitas adsorpsi maksimum didapatkan pada nilai pH terbaik yang berada di sekitar rentang pH isoelektrik BSA (sekitar 4,7) karena pada pH tersebut konfigurasi protein berbentuk globular dengan ukuran yang lebih kompak; sehingga gaya tolak-menolak (*repulsion*) antarmolekul yang teradsorpsi minimal mengakibatkan kapasitas adsorpsi BSA mencapai titik maksimumnya, terlepas pada besi nanopartikel yang termodifikasi atau pun tidak (Liang dkk., 2007; Peng dkk., 2004; Ur Rahman dkk., 2012; Wang dkk., 2015).
3. Kapasitas adsorpsi BSA pada permukaan Fe<sub>3</sub>O<sub>4</sub> nanopartikel meningkat seiring dengan bertambahnya konsentrasi awal BSA dan temperatur yang digunakan karena tingginya interaksi kuat antara BSA dengan BSA lainnya membentuk ikatan yang melapisi Fe<sub>3</sub>O<sub>4</sub> nanopartikel. Temperatur yang naik, meningkatkan difusi pada permukaan adsorben dengan aktivitas protein yang menghasilkan kapasitas adsorpsi BSA yang lebih tinggi (Joshua, 2021; Kopac dkk., 2008; Rahdar dkk., 2019; Wang dkk., 2015).
4. Model isoterm adsorpsi yang cocok untuk proses adsorpsi BSA pada permukaan Fe<sub>3</sub>O<sub>4</sub> nanopartikel adalah isoterm adsorpsi Langmuir karena adsorpsi BSA pada permukaan Fe<sub>3</sub>O<sub>4</sub> cenderung membentuk lapisan monolayer (Peng dkk., 2004).

**Tabel 1.1** Premis penelitian terkait adsorpsi BSA pada Fe<sub>3</sub>O<sub>4</sub> nanopartikel

**Tabel 1.1** Premis penelitian terkait adsorpsi BSA pada Fe<sub>3</sub>O<sub>4</sub> nanopartikel (*lanjutan*)

**Tabel 1.1** Premis penelitian terkait adsorpsi BSA pada Fe<sub>3</sub>O<sub>4</sub> nanopartikel (*lanjutan*)

No	Adsorben	Adsorbat	Agen Modifikasi	pH	Temperatur	Dosis Adsorben (mg)	Konsentrasi Awal Adsorbat (mg/mL)	Persamaan Isoterm	Hasil	Peneliti
7	TiO <sub>2</sub>	BSA	n,a	4,0	<ul style="list-style-type: none"> <li>▪ 20°C</li> <li>▪ 30°C</li> <li>▪ 40°C</li> </ul>	8–14	0,54	<ul style="list-style-type: none"> <li>-Isoterm Langmuir</li> <li>-Isoterm Freundlich</li> </ul>	<ul style="list-style-type: none"> <li>-Kapasitas maksimum adsorpsi BSA terjadi pada pH 4 dengan kapasitas sebesar 42,6 mg/g</li> <li>-Kesetimbangan adsorpsi BSA cocok dengan model isoterm adsorpsi Langmuir</li> </ul>	Kopac dkk., 2008
				5,0						
				10,0						
8	SiO <sub>2</sub> TiO <sub>2</sub> ZrO <sub>2</sub> Al <sub>2</sub> O <sub>3</sub>	BSA	n,a	3,2	40°C	300	5	Isoterm Langmuir	Kapasitas maksimum adsorpsi BSA terjadi pada pH 5 yang mendekati titik isoelektrik BSA	Fukuzaki dkk., 1996
				4,0						
				5,0						
				6,0						
				7,0						
				8,0						
				9,0						

keterangan: n,a = data tidak tersedia

**Tabel 1.2** Premis penelitian terkait termodinamika adsorpsi BSA pada Fe<sub>3</sub>O<sub>4</sub> nanopartikel

No	Adsorben	Adsorbat	Persamaan Isoterm	Termodinamika Adsorpsi				Hasil	Peneliti
				T (K)	ΔH° (kJ/mol)	ΔG° (kJ/mol)	ΔS° (J/molK)		
1	Fe <sub>3</sub> O <sub>4</sub>	BSA	- Isoterm Langmuir I, II, III, IV - Isoterm Freundlich	298	18,73	-8,90	92,80	<ul style="list-style-type: none"> <li>- Proses adsorpsi BSA pada permukaan terjadi secara spontan (ΔG° negatif), endotermis (ΔH° positif)</li> <li>- Model isoterm adsorpsi terbaik menggunakan Isoterm Langmuir tipe II</li> </ul>	Rahdar dkk., 2019
				308		-9,89			
				318		-10,75			
2	Fe <sub>3</sub> O <sub>4</sub> termodifikasi (magnetic κ-carrageenan / carboxy methyl chitosan)	BSA	- Isoterm Langmuir - Isoterm Freundlich	278	-18,96	-2,305	-52,53	<ul style="list-style-type: none"> <li>- Proses adsorpsi BSA pada permukaan terjadi secara spontan (ΔG° negatif), eksotermis (ΔH° negatif), dan adanya penurunan keacakan pada interface (ΔS° negatif)</li> <li>- Model isoterm adsorpsi terbaik adalah Isoterm Langmuir</li> </ul>	Mahdavinia dan Etemadi, 2015
				288		-2,896			
				298		-3,451			
				308		-3,343			
3	Fe <sub>3</sub> O <sub>4</sub> @Ag@SiO <sub>2</sub> -PNIPA (Poly(N-isopropyl acrylamide))	BSA	- Isoterm Langmuir - Isoterm Freundlich	303	31,37	-0,412	105	<ul style="list-style-type: none"> <li>- Proses adsorpsi BSA pada permukaan terjadi secara spontan (ΔG° negatif), endotermis (ΔH° positif), dan adanya interaksi yang tinggi antara BSA dengan adsorben (ΔS° positif)</li> <li>- Model isoterm adsorpsi terbaik adalah isoterm Langmuir</li> </ul>	Shah dan Alveroglu, 2021
				313		-1,388			
				323		-3,204			
				333		-3,518			
				343		-3,696			
				353		-6,163			
				293,15	17,041	-3,669	70,164		
4	Fe <sub>3</sub> O <sub>4</sub>	BSA	n,a	303,15		-3,853	68,919	<ul style="list-style-type: none"> <li>- Proses adsorpsi BSA oleh adsorben terjadi secara spontan (ΔG° negatif), endotermis (ΔH° positif)</li> </ul>	Keshavarz dan Ghasemi, 2011
				313,15		-4,094	67,488		

keterangan: n,a = data tidak tersedia

5. Proses adsorpsi terjadi secara spontan dengan nilai energi Gibbs ( $\Delta G^\circ$ ) yang negatif dan entropi ( $\Delta S^\circ$ ) yang positif, serta endotermis yang ditunjukkan nilai perubahan entalpi ( $\Delta H^\circ$ ) yang bernilai positif (Mahdavinia dan Etemadi, 2015; Sahmoune, 2018).

## 1.6 Tujuan Penelitian

Tujuan dari penelitian ini adalah:

1. Mengetahui kinerja adsorpsi protein pada permukaan  $Fe_3O_4$  nanopartikel nanopartikel dengan dan tanpa modifikasi menggunakan asam galat atau asam humat.
2. Mengetahui profil kapasitas adsorpsi BSA pada permukaan  $Fe_3O_4$  nanopartikel dengan dan tanpa modifikasi menggunakan asam galat atau asam humat pada berbagai pH.
3. Mengetahui profil kapasitas adsorpsi BSA pada permukaan  $Fe_3O_4$  nanopartikel dengan dan tanpa modifikasi menggunakan asam galat atau asam humat pada berbagai konsentrasi awal BSA dan suhu.
4. Mengetahui model isoterm adsorpsi untuk adsorpsi protein BSA pada  $Fe_3O_4$  nanopartikel dengan dan tanpa modifikasi menggunakan asam galat atau asam humat.
5. Mengetahui sifat termodinamika sistem adsorpsi BSA pada  $Fe_3O_4$  nanopartikel dengan dan tanpa modifikasi menggunakan asam galat atau asam humat.

## 1.7. Manfaat Penelitian

Hasil dari penelitian ini diharapkan dapat memberikan beberapa manfaat, antara lain:

1. **Bagi mahasiswa;** mengetahui kinerja adsorpsi protein pada permukaan  $Fe_3O_4$  nanopartikel dengan dan tanpa modifikasi menggunakan asam. Mahasiswa mengetahui jenis asam dan pH terbaik yang digunakan agar menghasilkan kapasitas adsorpsi maksimum. Mahasiswa juga mengetahui memahami mekanisme proses adsorpsi menggunakan isoterm adsorpsi serta dapat menentukan besaran termodinamika selama proses adsorpsi.
2. **Bagi dunia kesehatan,** dapat digunakan untuk imobilisasi enzim dan protein, *magnetic resonance imaging* (MRI), *drug delivery system*, dan purifikasi DNA/RNA yang dapat dikembangkan lebih lanjut sebagai suatu strategi untuk penanganan berbagai penyakit.